

ЭФФЕКТ МЕЙССНЕРА В СВЕРХПРОВОДНИКАХ С КОНЕЧНЫМ ИМПУЛЬСОМ ПАР

*В. Ф. Елесин**

*Московский инженерно-физический институт (государственный университет)
115409, Москва, Россия*

Поступила в редакцию 20 декабря 2006 г.

В работе дан анализ особенностей эффекта Мейсснера в сверхпроводниках с конечным импульсом спаривания. Рассчитан отклик на слабое магнитное поле для различных случаев, перекрывающих диапазон импульса пары от $q \ll \Delta/v_0$ до $q \sim p_0$, включая $q \approx \Delta_0/v_0$ (v_0 — скорость на поверхности Ферми, Δ_0 — параметр порядка при нулевой температуре, $\hbar = 1$). Найден отклик сверхпроводника, несущего транспортный ток, при температуре T , близкой к критической T_c . Показано, что при некотором критическом значении импульса (тока) отклик, параллельный импульсу, обращается в нуль, а лондоновская длина оказывается бесконечной. Отклик, перпендикулярный импульсу, не испытывает изменений. Вычислен отклик сверхпроводника в токовом состоянии при нулевой температуре. Обнаружен новый вклад в парамагнитный ток и выяснен его механизм. Этот вклад может оказаться существенным при больших импульсах $q \sim p_0$. Детально изучен эффект Мейсснера в состоянии, предложенном Ларкиным, Овчинниковым, Фулде, Феррелом [3, 4]. Показано, что отклик, параллельный вектору q , отличен от нуля и имеет диамагнитный характер. Напротив, отклик, перпендикулярный импульсу, равен нулю при оптимальном значении импульса q_0 . В работе продемонстрирована чувствительность эффекта Мейсснера к тонким особенностям сверхпроводящего состояния, таким как спектр квазичастиц, когерентные факторы и др.

PACS: 74.20.-z, 74.20.Mn, 74.72.-h

1. ВВЕДЕНИЕ

Для описания ВТСП было предложено много различных моделей сверхпроводимости, в частности, с конечным импульсом спаривания q [1, 2] (в отличие от БКШ, где в основном состоянии $q = 0$). Представляет интерес изучить их свойства, особенно такое фундаментальное, как эффект Мейсснера. Спаривание с конечным импульсом реализуется также в токовых состояниях сверхпроводника, несущего транспортный ток. Интересным и поучительным примером является так называемое ЛОФФ (FFLO)-состояние, предложенное в пионерских работах Ларкина, Овчинникова, Фулде и Феррела [3, 4]. В этом состоянии спаривание с конечным q является энергетически выгодным из-за присутствия обменного поля, стремящегося развернуть спины куперовской пары.

Цель работы — расчет отклика на внешнее слабое магнитное поле и анализ особенностей эффек-

та Мейсснера сверхпроводников, у которых спаривание идет с конечным значением импульса. С учетом того, что эффект Мейсснера является чувствительным к тонким особенностям сверхпроводящего состояния, таким как спектр квазичастиц, когерентные факторы и др., предполагается провести сравнительный анализ отклика для различных случаев, перекрывающих диапазон импульса пары от $qv_0 \ll \Delta_0$ до $q \sim p_0$, включая $qv_0 \sim \Delta_0$ (v_0 — скорость на поверхности Ферми, Δ_0 — параметр порядка при нулевой температуре).

В разд. 2 найден отклик сверхпроводника при $T \rightarrow T_c$, несущего транспортный ток, в рамках уравнений Гинзбурга–Ландау (ГЛ). Показано, что при некотором критическом значении импульса (тока) отклик, параллельный импульсу, обращается в нуль (соответственно, лондоновская длина оказывается равной бесконечности). Раздел 3 посвящен вычислению отклика сверхпроводника с током при $T = 0$. Обнаружен новый вклад в парамагнитный ток, который может оказаться существенным при

*E-mail: VEF@supercon.mephi.ru

больших импульсах спаривания $q \sim p_0$. Механизм нового вклада выясняется в разд. 4 с использованием формализма теории БКШ. Раздел 5 посвящен детальному изучению эффекта Мейсснера в ЛОФФ-состоянии. Дело в том, что в работе [3] были приведены только качественные оценки отклика, а в работе [4] отклик не вычислялся для важного случая $\Delta_0(\mathbf{r}) = \Delta_0 \exp(i\mathbf{q} \cdot \mathbf{r})$.

2. ОТКЛИК НА СЛАБОЕ МАГНИТНОЕ ПОЛЕ В ПРИСУТСТВИИ ТРАНСПОРТНОГО ТОКА ПРИ ТЕМПЕРАТУРЕ, БЛИЗКОЙ К КРИТИЧЕСКОЙ

В токовом состоянии импульс куперовской пары (и конденсата) отличен от нуля. Спектр квазичастиц и волновая функция изменяются. Поэтому следует ожидать, что парамагнитный ток отреагирует на это. Простейшая для изучения ситуация возникает при температуре T вблизи критической. В этом случае применимы уравнения ГЛ (см. [5]):

$$\left[\left(\frac{\partial}{\partial \mathbf{r}} - 2ei\mathbf{A} \right)^2 + |\alpha| - \beta|\Delta|^2 \right] \Delta(\mathbf{r}) = 0, \quad (1)$$

$$\mathbf{j} = \frac{C}{m} \left[ie \left(\Delta \frac{\partial \Delta^*}{\partial \mathbf{r}} - \Delta^* \frac{\partial \Delta}{\partial \mathbf{r}} \right) - 4e^2 \mathbf{A}(\mathbf{r}) |\Delta|^2 \right], \quad (2)$$

$$C = \frac{7\zeta(3)N}{16(\pi T_c)^2}, \quad N = \frac{p_0^2}{3\pi^3}, \quad \beta = 6/v_0^2, \quad (3)$$

$$\alpha = \frac{48(\pi T_c)^2}{7\zeta(3)v_0^2}, \quad p_0 = mv_0.$$

Здесь $\Delta(\mathbf{r})$ — параметр порядка, \mathbf{j} — ток (отклик), v_0 — скорость Ферми, $\mathbf{A}(\mathbf{r})$ — медленно меняющийся вектор-потенциал, удовлетворяющий условию лондоновской калибровки

$$\text{div } \mathbf{A} = 0. \quad (4)$$

В отсутствие магнитного поля параметр порядка $\Delta_0(\mathbf{r})$ находится из уравнения

$$\frac{\partial^2 \Delta_0}{\partial r^2} + |\alpha|\Delta_0 - \beta\Delta_0|\Delta_0|^2 = 0. \quad (5)$$

В слабом магнитном поле параметр порядка $\Delta(\mathbf{r})$ можно представить в виде

$$\Delta(\mathbf{r}) = \Delta_0(\mathbf{r}) + \Delta_1(\mathbf{r}), \quad (6)$$

где $\Delta_1(\mathbf{r})$ — малая поправка, возникающая, вообще говоря, под действием поля. Уравнение для $\Delta_1(\mathbf{r})$ имеет вид

$$\frac{\partial^2 \Delta_1}{\partial r^2} + |\alpha|\Delta_1 - \beta [2\Delta_1|\Delta_0|^2 + \Delta_1^* \Delta_0^2] = 4ie \left(\mathbf{A} \frac{\partial}{\partial \mathbf{r}} \right) \Delta_0(\mathbf{r}). \quad (7)$$

В отсутствие транспортного тока $\Delta_0(\mathbf{r})$ не зависит от координаты. В этом случае из (6) и (7) следует

$$|\Delta_0|^2 = \frac{|\alpha|}{\beta}, \quad \Delta_1(\mathbf{r}) = 0. \quad (8)$$

Последнее вытекает из обращения в нуль правой части неоднородного уравнения (7). Этот хорошо известный результат связан с тем, что скалярная поправка $\Delta_1(\mathbf{r})$ может зависеть от вектора \mathbf{A} только через $\text{div} \mathbf{A}$, которая равна нулю согласно (4). Если $\Delta_1(\mathbf{r}) = 0$, то отклик (2) равен

$$\mathbf{j} = -\frac{4e^2 \mathbf{A} C |\Delta_0|^2}{m}, \quad (9)$$

приводя к эффекту Мейсснера с лондоновской длиной

$$\frac{1}{\lambda^2} = \frac{4\pi C |\Delta_0|^2 4e^2}{m}. \quad (10)$$

В токовом состоянии (и при $\mathbf{A} = 0$), когда импульс пары равен \mathbf{q} , параметр порядка зависит от координаты:

$$\Delta_0(\mathbf{r}) = \Delta_0(\mathbf{q}) e^{i\mathbf{q} \cdot \mathbf{r}}, \quad \Delta_0^2(\mathbf{q}) = \frac{|\alpha|^2 - q^2}{\beta} \quad (11)$$

и соответствующий ток равен

$$\mathbf{j}_0 = \frac{2\mathbf{q}e |\Delta_0(\mathbf{q})|^2 C}{m} \quad (12)$$

Здесь и ниже мы решаем упрощенную задачу, предполагая модуль $|\Delta_0|$ не зависящим от координаты (см. [6]).

Теперь рассмотрим токовое состояние ($\mathbf{q} \neq 0$) в присутствии слабого магнитного поля. Будем искать поправку $\Delta_1(\mathbf{r})$ в виде

$$\Delta_1(\mathbf{r}) = f(\mathbf{r}) e^{i\mathbf{q} \cdot \mathbf{r}} \quad (13)$$

Для функций $f(\mathbf{r})$ и $f^*(\mathbf{r})$ получаем уравнения

$$-\frac{\partial^2 f}{\partial r^2} - 2i\mathbf{q} \frac{\partial f}{\partial \mathbf{r}} + b(f + f^*) = \tilde{A}(\mathbf{r}) \equiv 4e\Delta_0(\mathbf{q}) (\mathbf{A}(\mathbf{r}) \cdot \mathbf{q}) \quad (14)$$

$$-\frac{\partial^2 f^*}{\partial r^2} + 2i\mathbf{q} \frac{\partial f^*}{\partial \mathbf{r}} + b(f + f^*) = \tilde{A}(\mathbf{r}), \quad (15)$$

$$b = \beta \Delta_0^2(\mathbf{q}).$$

Вектор-потенциал зададим в форме

$$\mathbf{A}(\mathbf{r}) = A_k e^{i\mathbf{k} \cdot \mathbf{r}} + A_k^* e^{-i\mathbf{k} \cdot \mathbf{r}}, \quad A_k = A_k^*, \quad (16)$$

причем ввиду медленности изменения поля будем считать \mathbf{k} малым. Несмотря на внешнюю простоту системы уравнений (14) и (15), ее решение и последующий предельный переход $k \rightarrow 0$ требуют определенной тщательности. Поэтому опишем эту процедуру достаточно подробно. Ищем решение уравнений (14) и (15) в виде

$$\begin{aligned} f(\mathbf{r}) &= B_+ e^{i\mathbf{k} \cdot \mathbf{r}} + B_- e^{-i\mathbf{k} \cdot \mathbf{r}}, \\ f^*(\mathbf{r}) &= \tilde{B}_+ e^{i\mathbf{k} \cdot \mathbf{r}} + \tilde{B}_- e^{-i\mathbf{k} \cdot \mathbf{r}}. \end{aligned} \quad (17)$$

В свою очередь, B_+ и B_- удовлетворяют системе неоднородных алгебраических уравнений

$$\begin{aligned} (k^2 + b + 2\mathbf{k} \cdot \mathbf{q}) B_+ + b\tilde{B}_+ &= \\ &= 4e\Delta_0(\mathbf{q})(\mathbf{A}_k \mathbf{q}) \equiv \tilde{A}(\mathbf{q}), \end{aligned} \quad (18)$$

$$bB_+ + (k^2 + b - 2\mathbf{k} \cdot \mathbf{q}) \tilde{B}_+ = \tilde{A}(\mathbf{q}). \quad (19)$$

Решение системы (18) и (19) выглядит следующим образом:

$$B_+ = \frac{(k^2 - 2\mathbf{k} \cdot \mathbf{q}) \tilde{A}(\mathbf{q})}{D}, \quad (20)$$

$$\tilde{B}_+ = \frac{(k^2 + 2\mathbf{k} \cdot \mathbf{q}) \tilde{A}(\mathbf{q})}{D},$$

$$D = 2k^2 b + k^4 - 4(\mathbf{k} \cdot \mathbf{q})^2. \quad (21)$$

Аналогично, для B_- и \tilde{B}_- нетрудно найти

$$B_- = \frac{(k^2 + 2\mathbf{k} \cdot \mathbf{q}) \tilde{A}(\mathbf{q})}{D} = \tilde{B}_+, \quad (22)$$

$$\tilde{B}_- = \frac{(k^2 - 2\mathbf{k} \cdot \mathbf{q}) \tilde{A}(\mathbf{q})}{D} = B_+.$$

Следует отметить, что необходимо удерживать квадратичные по \mathbf{k} члены, поскольку вклад в определитель D (который стремится к нулю при $k \rightarrow 0$) от квадратичного члена имеет тот же порядок, что и от линейного. Если сразу в (18), (19) опустить k^2 , то придем к неправильному результату.

Продemonстрируем это на примере ключевой величины $f + f^*$, определяющей отклик в магнитном поле:

$$f(\mathbf{r}) + f^*(\mathbf{r}) = (B_+ + \tilde{B}_+) [e^{i\mathbf{k} \cdot \mathbf{r}} + e^{-i\mathbf{k} \cdot \mathbf{r}}]. \quad (23)$$

Как следует из формулы (20), интересующая нас сумма $B_+ + \tilde{B}_+$ при $k \rightarrow 0$,

$$B_+ + \tilde{B}_+ = \frac{2k^2 \tilde{A}(\mathbf{q})}{D} \approx \frac{\tilde{A}(\mathbf{q})}{[b - 2(\mathbf{k} \cdot \mathbf{q})^2/k^2]}, \quad (24)$$

отлична от нуля (и конечна при $k \rightarrow 0$). Если же ограничиться в (18), (19) линейным по \mathbf{k} членом, то сумма равна нулю:

$$B_+ + \tilde{B}_+ = 0, \quad B_+ = -\tilde{B}_+ = \frac{\tilde{A}(\mathbf{q})}{2(\mathbf{k} \cdot \mathbf{q})}. \quad (25)$$

Как увидим ниже (см. разд. 4), именно такое приближение сделано в работе [3].

Переходим к вычислению отклика. Подставляя поправку $\Delta_1(\mathbf{r})$ из (20) и (17) в (2), получаем

$$\begin{aligned} \mathbf{j}(\mathbf{r}) &= \frac{e\Delta_0(\mathbf{q})C}{m} \times \\ &\times \left\{ \left[2\mathbf{q}(f + f^*) + i \frac{\partial}{\partial \mathbf{r}}(f^* - f) \right] - 4e\Delta_0(\mathbf{q})\mathbf{A} \right\} = \end{aligned} \quad (26)$$

$$= \frac{4e^2 \Delta_0^2(\mathbf{q})C}{m} \left[\frac{2\mathbf{q}^{tr}(\mathbf{q} \cdot \mathbf{A}(\mathbf{r}))}{\left(b - 2\frac{(\mathbf{q} \cdot \mathbf{k})^2}{k^2}\right)} - \mathbf{A}(\mathbf{r}) \right], \quad (27)$$

$$\mathbf{q}^{tr} = \mathbf{q} - \frac{\mathbf{k}(\mathbf{k} \cdot \mathbf{q})}{k^2}, \quad (\mathbf{q}^{tr} \cdot \mathbf{k}) = 0.$$

Отметим, что отклик (27) удовлетворяет условию сохранения тока $\text{div} \mathbf{j} = 0$ с учетом калибровки (4). Можно выполнить расчеты в калибровочно-инвариантной форме. В результате приходим к равенству (27), но вектор-потенциал \mathbf{A} следует заменить на

$$\mathbf{A}^{tr} = \mathbf{A} - \frac{\mathbf{k}(\mathbf{k} \cdot \mathbf{A})}{k^2}, \quad (\mathbf{A}^{tr} \cdot \mathbf{k}) = 0, \quad (28)$$

$$\begin{aligned} \mathbf{j}(\mathbf{r}) &= \frac{4e^2 \Delta_0^2(\mathbf{q})C}{m} \times \\ &\times \left[\frac{2\mathbf{q}^{tr}(\mathbf{q} \cdot \mathbf{A}^{tr}(\mathbf{r}))}{\left(b - 2\frac{(\mathbf{q} \cdot \mathbf{k})^2}{k^2}\right)} - \mathbf{A}^{tr}(\mathbf{r}) \right]. \end{aligned} \quad (29)$$

Отклик (29) автоматически удовлетворяет условию $\text{div} \mathbf{j} = 0$.

Далее удобно представить вектор-потенциал в виде вектора $\mathbf{A}_{\parallel}^{tr}$, параллельного \mathbf{q} , и \mathbf{A}_{\perp}^{tr} , перпендикулярного \mathbf{q} (см. [4]). Нетрудно видеть, что вклад в парамагнитный отклик вносит только $\mathbf{A}_{\parallel}^{tr}$. Учитывая, что вектор \mathbf{k} перпендикулярен $\mathbf{A}_{\parallel}^{tr}$, а следовательно и \mathbf{q} , имеем $(\mathbf{q} \cdot \mathbf{k}) = 0$. Таким образом, получаем

$$\mathbf{J}_{\parallel}(\mathbf{r}) = -\frac{\mathbf{A}_{\parallel}^{tr}(\mathbf{r})}{4\pi\lambda_{\parallel}^2(q)}, \quad \frac{1}{\lambda_{\parallel}^2(q)} = \frac{1}{\lambda^2} \left(1 - \frac{3q^2}{|\alpha|} \right), \quad (30)$$

$$\mathbf{J}_\perp(\mathbf{r}) = -\frac{\mathbf{A}_\perp(\mathbf{r})}{\lambda_\perp^2}, \quad \frac{1}{\lambda_\perp^2} = \frac{1}{\lambda^2}. \quad (31)$$

Как видно из формул (30) и (31), отклик становится анизотропным, причем \mathbf{J}_\perp остается прежним (как при $\mathbf{q} = 0$) с обычной лондоновской длиной λ^2 (см. (10)). Напротив, \mathbf{J}_\parallel уменьшается с ростом q^2 и при некотором критическом значении

$$q_c^2 = |\alpha|/3 \quad (32)$$

обращается в нуль, а лондоновская длина $\lambda_\parallel(q_c)$ — в бесконечность.

Причина такого поведения состоит в следующем. Вектор-потенциал \mathbf{A}_\parallel взаимодействует с электронами той области импульсного пространства, где импульс \mathbf{q} уменьшает щель спектра квазичастиц и число пар ($T \neq 0$). Напротив, \mathbf{A}_\perp имеет дело с электронами, не испытывающими разрушающего действия \mathbf{q} .

Если далее увеличивать $q > q_c$, то отклик (30) и квадрат длины $\lambda_\parallel^2(q)$ меняют знак, что соответствовало бы парамагнетизму. (Заметим, что параметр порядка $\Delta_0(q)$, согласно формуле (11), оставался бы не равным нулю в интервале $q_c^2 < q^2 < 3q_c^2$.) Однако известно (см., например, [7]), что отрицательность $1/\lambda^2(q)$ (плотности сверхтекучей компоненты) означает неустойчивость системы относительно неоднородных возмущений.

Критерий неустойчивости (32) согласуется с критерием фазового перехода первого рода сверхпроводника с током в нормальное состояние [6]. Действительно, рассмотрим состояние с заданным током j_0 (12) (а не \mathbf{q} !). Полагая $\Delta_0^2(q) = |\alpha|\psi^2/\beta$ и исключая q из (12) и (11), получаем связь тока с безразмерным параметром порядка ψ :

$$j_0 = \psi^2(1 - \psi^2)^{1/2} \left[\frac{4eC|\alpha|^{3/2}}{m\beta} \right]. \quad (33)$$

Зависимость параметра порядка ψ от тока носит двучленный характер. В интервале $1 > \psi^2 > 2/3$ величина ψ уменьшается с ростом тока j_0 , а затем при $2/3 > \psi^2 > 0$ начинает расти. Естественно, эта область является неустойчивой, и поэтому параметр порядка, достигнув $\psi_c^2 = 2/3$, скачком (переход первого рода) обращается в нуль. Соответствующий импульс

$$q^2 = |\alpha|(1 - \psi^2) = \frac{|\alpha|}{3} \quad (34)$$

в точности совпадает с критическим (32).

В заключение отметим, что изменение отклика на слабое поле связано только с поправкой параметра порядка $\Delta_1(\mathbf{r})$.

3. ОТКЛИК СВЕРХПРОВОДНИКА В ПРИСУТСТВИИ ТРАНСПОРТНОГО ТОКА ПРИ НУЛЕВОЙ ТЕМПЕРАТУРЕ

Рассмотрим другой предельный случай, когда температура равна нулю. Он интересен тем, что поправка к параметру порядка $\Delta_1(\mathbf{A})$ отсутствует, но парамагнитный ток оказывается конечным. Анализ позволяет выяснить физический смысл этого результата, а также микроскопический механизм обращения в нуль парамагнитного тока при $q = 0$.

Будем исходить из уравнений Горькова (см. [5])

$$\left\{ i\omega + \frac{1}{2m} \left(\frac{\partial}{\partial \mathbf{r}} - ie\mathbf{A} \right)^2 + \mu \right\} G_\omega(\mathbf{r}, \mathbf{r}') + \Delta(\mathbf{r})\mathcal{F}_\omega^+(\mathbf{r}, \mathbf{r}') = \delta(\mathbf{r} - \mathbf{r}'), \quad (35)$$

$$\left\{ -i\omega + \frac{1}{2m} \left(\frac{\partial}{\partial \mathbf{r}} + ie\mathbf{A} \right)^2 + \mu \right\} \mathcal{F}_\omega^+(\mathbf{r}, \mathbf{r}') - \Delta^*(\mathbf{r})G_\omega(\mathbf{r}, \mathbf{r}') = 0, \quad (36)$$

$$\Delta(\mathbf{r}) = |\lambda| \sum_\omega \mathcal{F}_\omega^+(\mathbf{r}, \mathbf{r}), \quad (37)$$

где $G_\omega(\mathbf{r}, \mathbf{r}')$, $\mathcal{F}_\omega^+(\mathbf{r}, \mathbf{r}')$ (а также $\mathcal{F}_\omega(\mathbf{r}, \mathbf{r}')$) — температурные функции Грина, остальные обозначения стандартные. В токовом состоянии параметр порядка зависит от \mathbf{r} :

$$\Delta(\mathbf{r}) = \tilde{\Delta}(\mathbf{r})e^{2i\mathbf{q}\cdot\mathbf{r}}. \quad (38)$$

Удобно перейти к новым функциям:

$$G_\omega(\mathbf{r}, \mathbf{r}') = e^{i\mathbf{q}\cdot(\mathbf{r}-\mathbf{r}')} \tilde{G}_\omega(\mathbf{r}, \mathbf{r}'), \quad (39)$$

$$\mathcal{F}_\omega^+(\mathbf{r}, \mathbf{r}') = e^{-i\mathbf{q}\cdot(\mathbf{r}+\mathbf{r}')} \tilde{\mathcal{F}}_\omega^+(\mathbf{r}, \mathbf{r}'), \quad (40)$$

$$\mathcal{F}_\omega(\mathbf{r}, \mathbf{r}') = e^{i\mathbf{q}\cdot(\mathbf{r}+\mathbf{r}')} \tilde{\mathcal{F}}_\omega(\mathbf{r}, \mathbf{r}'),$$

для которых получаем следующие уравнения:

$$\left\{ i\omega + \frac{1}{2m} \left[\left(\frac{\partial}{\partial \mathbf{r}} + i\mathbf{q} \right)^2 - i2e\mathbf{A}(\mathbf{r}) \left(\frac{\partial}{\partial \mathbf{r}} + i\mathbf{q} \right) \right] + \mu \right\} \tilde{G}_\omega(\mathbf{r}, \mathbf{r}') + \tilde{\Delta}(\mathbf{r})\tilde{\mathcal{F}}_\omega^+(\mathbf{r}, \mathbf{r}') = \delta(\mathbf{r} - \mathbf{r}'), \quad (41)$$

$$\left\{ -i\omega + \frac{1}{2m} \left[\left(\frac{\partial}{\partial \mathbf{r}} - i\mathbf{q} \right)^2 + i2e\mathbf{A}(\mathbf{r}) \left(\frac{\partial}{\partial \mathbf{r}} - i\mathbf{q} \right) \right] + \mu \right\} \tilde{\mathcal{F}}_\omega^+(\mathbf{r}, \mathbf{r}') - \tilde{\Delta}^*(\mathbf{r})\tilde{G}_\omega(\mathbf{r}, \mathbf{r}') = 0.$$

Здесь использована лондоновская калибровка (4) и опущен квадратичный член A^2 . Мы будем считать магнитное поле и вектор-потенциал $A(\mathbf{r})$ малыми, так что справедливо разложение

$$\begin{aligned} \tilde{\Delta}(\mathbf{r}) &= \Delta_0 + \Delta^{(1)}(\mathbf{r}), \quad \tilde{G}_\omega = G_{0\omega} + \tilde{G}_\omega^{(1)}, \\ \tilde{\mathcal{F}}_\omega^+ &= \mathcal{F}_{0\omega} + \tilde{\mathcal{F}}_\omega^{+(1)}, \quad \tilde{\mathcal{F}}_\omega = \mathcal{F}_{0\omega} + \tilde{\mathcal{F}}_\omega^{(1)}. \end{aligned} \quad (42)$$

В нулевом приближении уравнения (41) принимают вид

$$\begin{aligned} \hat{H}_q G_{0\omega}(\mathbf{r}, \mathbf{r}') + \Delta_0 \mathcal{F}_{0\omega}^+(\mathbf{r}, \mathbf{r}') &= \delta(\mathbf{r} - \mathbf{r}'), \\ \hat{H}_q^* \mathcal{F}_{0\omega}^+(\mathbf{r}, \mathbf{r}') - \Delta_0 G_{0\omega}(\mathbf{r}, \mathbf{r}') &= 0, \end{aligned} \quad (43)$$

$$\begin{aligned} \hat{H}_q \mathcal{F}_{0\omega}(\mathbf{r}, \mathbf{r}') - \Delta_0 G_{0,-\omega}(\mathbf{r}', \mathbf{r}) &= 0, \\ \Delta_0 &= |\lambda| \sum_w \mathcal{F}_{0\omega}^+(\mathbf{r}, \mathbf{r}), \end{aligned} \quad (44)$$

где

$$\begin{aligned} \hat{H}_q &= \left\{ i\omega + \frac{1}{2m} \left(\frac{\partial}{\partial \mathbf{r}} + i\mathbf{q} \right)^2 + \mu \right\}, \\ \hat{H}_q^* &= \left\{ -i\omega + \frac{1}{2m} \left(\frac{\partial}{\partial \mathbf{r}} - i\mathbf{q} \right)^2 + \mu \right\}. \end{aligned}$$

Переходя к фурье-образам, получаем известные решения (см., например, [8])

$$G_{0\omega}(p) = \left[\frac{\tilde{u}_p^2}{i\omega - \varepsilon_p - \mathbf{v} \cdot \mathbf{q}} + \frac{\tilde{v}_p^2}{i\omega - \mathbf{v} \cdot \mathbf{q} + \varepsilon_p} \right], \quad (45)$$

$$\begin{aligned} \mathcal{F}_{0\omega}^+(p) &= \frac{\Delta_0}{2\varepsilon_p} \left[\frac{1}{i\omega - \mathbf{v} \cdot \mathbf{q} + \varepsilon_p} - \frac{1}{i\omega - \mathbf{v} \cdot \mathbf{q} - \varepsilon_p} \right] = \\ &= \mathcal{F}_{0\omega}(p), \end{aligned} \quad (46)$$

$$\begin{aligned} \varepsilon_p &= \sqrt{\tilde{\xi}_p^2 + \Delta_0^2}, \quad \tilde{u}_p^2, \tilde{v}_p^2 = \frac{1}{2} \left(1 \pm \frac{\tilde{\xi}_p}{\varepsilon_p} \right), \\ \tilde{\xi}_p &= \frac{p^2}{2m} - \left(\mu - \frac{q^2}{2m} \right). \end{aligned} \quad (47)$$

Уравнения для функций $G_\omega^{(1)}$, $\mathcal{F}_\omega^{+(1)}$ и $\Delta^{*(1)}$ можно представить в форме

$$\begin{aligned} \hat{H}_q G_\omega^{(1)}(\mathbf{r}, \mathbf{r}') + \Delta_0 \mathcal{F}_\omega^{+(1)}(\mathbf{r}, \mathbf{r}') &= -\Delta^{(1)}(\mathbf{r}) \mathcal{F}_{0\omega}^+(\mathbf{r}, \mathbf{r}') + \\ + \frac{ie}{m} \left(\mathbf{A} \left(\frac{\partial}{\partial \mathbf{r}} + i\mathbf{q} \right) \right) G_{0\omega}(\mathbf{r}, \mathbf{r}') &\equiv L_G(\mathbf{r}, \mathbf{r}'), \end{aligned} \quad (48)$$

$$\begin{aligned} \hat{H}_q^* \mathcal{F}_\omega^{+(1)}(\mathbf{r}, \mathbf{r}') - \Delta_0 G_\omega^{(1)}(\mathbf{r}, \mathbf{r}') &= \Delta^{*(1)}(\mathbf{r}) G_{0\omega}(\mathbf{r}, \mathbf{r}') - \\ - \frac{ie}{m} \left(\mathbf{A} \left(\frac{\partial}{\partial \mathbf{r}} + i\mathbf{q} \right) \right) \mathcal{F}_{0\omega}^+(\mathbf{r}, \mathbf{r}') &\equiv L_{\mathcal{F}}(\mathbf{r}, \mathbf{r}'), \end{aligned} \quad (49)$$

$$\Delta^{*(1)}(\mathbf{r}) = |\lambda| T \sum_\omega \mathcal{F}_\omega^{+(1)}(\mathbf{r}', \mathbf{r}). \quad (50)$$

Следуя известному методу (см., например, [5]), найдем решения уравнений (48) и (49), используя (41) и (42):

$$\begin{aligned} G_\omega^{(1)}(\mathbf{r}, \mathbf{r}') &= \int dl \{ G_{0\omega}(\mathbf{r} - \mathbf{l}) L_G(\mathbf{l} \cdot \mathbf{r}') - \\ &\quad - \mathcal{F}_{0\omega}(\mathbf{r} - \mathbf{l}) L_{\mathcal{F}}(\mathbf{l} \cdot \mathbf{r}') \}, \\ \mathcal{F}_\omega^{+(1)}(\mathbf{r}, \mathbf{r}') &= \int dl \{ \mathcal{F}_{0\omega}(\mathbf{r} - \mathbf{l}) L_G(\mathbf{l} \cdot \mathbf{r}') + \\ &\quad + G_{0,-\omega}(\mathbf{l} - \mathbf{r}) L_{\mathcal{F}}(\mathbf{l} \cdot \mathbf{r}') \}. \end{aligned} \quad (51)$$

Поправка к параметру порядка $\Delta^{*(1)}(\mathbf{r})$ должна определяться из интегрального уравнения (50), которое после подстановки $\mathcal{F}_\omega^{+(1)}$ из (51) принимает вид

$$\begin{aligned} \Delta^{*(1)}(\mathbf{r}) &= |\lambda| T \times \\ &\times \sum_\omega \int dl \{ G_{-\omega}(\mathbf{l} - \mathbf{r}) \Delta^{*(1)}(\mathbf{l}) G_\omega(\mathbf{l} - \mathbf{r}) - \\ &\quad - \mathcal{F}_\omega^+(\mathbf{r} - \mathbf{l}) \Delta^{(1)}(\mathbf{l}) \mathcal{F}_\omega^+(\mathbf{l} - \mathbf{r}) \} = \frac{ie}{m} |\lambda| T \times \\ &\times \sum_\omega \int dl \left[\mathcal{F}_\omega^+(\mathbf{r} - \mathbf{l}) \left(\mathbf{A}_l \left(\frac{\partial}{\partial \mathbf{r}} + i\mathbf{q} \right) \right) G_\omega(\mathbf{l} - \mathbf{r}) - \right. \\ &\quad \left. - G_{-\omega}(\mathbf{l} - \mathbf{r}) \left(\mathbf{A}_l \left(\frac{\partial}{\partial \mathbf{r}} - i\mathbf{q} \right) \right) \mathcal{F}_\omega^+(\mathbf{l} - \mathbf{r}) \right]. \end{aligned} \quad (52)$$

Мы опускаем далее индекс «0» у функций Грина, полагая, что это не приведет к недоразумениям.

Парамагнитная составляющая тока выражается через функцию $G_\omega^{(1)}$:

$$\begin{aligned} \mathbf{J}_p(\mathbf{r}) &= \frac{ie}{m} T \sum_\omega \left(\frac{\partial}{\partial \mathbf{r}'} - \frac{\partial}{\partial \mathbf{r}} \right) \Big|_{\mathbf{r}' = \mathbf{r}} G_\omega^{(1)}(\mathbf{r}, \mathbf{r}') = \\ &= \frac{ie}{m} T \sum_\omega \left\{ -2i\mathbf{q} \tilde{G}_\omega^{(1)}(\mathbf{r}, \mathbf{r}') + (\nabla_{r'} - \nabla_r) \tilde{G}_\omega^{(1)}(\mathbf{r}, \mathbf{r}') \right\}. \end{aligned}$$

Вначале найдем $\Delta^{*(1)}$ и $\Delta^{(1)}$. Можно показать, что уравнение (52) при $T \rightarrow T_c$, $\Delta_0 \rightarrow 0$ и $qv_0 \ll T_c$ переходит в (15). Поэтому оно проявляет особенности, связанные с зависимостью от $\mathbf{k} \rightarrow 0$. В частности, в правой части уравнения (52) можно сразу положить $\mathbf{k} = 0$ (т. е. считать \mathbf{A} не зависящим от \mathbf{l}). После фурье-преобразования получаем для правой части (52)

$$\begin{aligned} \frac{-e}{m} |\lambda| T \sum_\omega \sum_p \left[(\mathbf{A}(\mathbf{p} + \mathbf{q})) \mathcal{F}_\omega^+(\mathbf{p}) G_\omega(\mathbf{p}) - \right. \\ \left. - (\mathbf{A}(\mathbf{p} - \mathbf{q})) \mathcal{F}_\omega^+(\mathbf{p}) G_{-\omega}(-\mathbf{p}) \right]. \end{aligned} \quad (53)$$

Используя формулы (45), (46) и суммируя по частотам, находим окончательно

$$\frac{e}{2m}\Delta_0|\lambda|\sum_p\left\{\frac{1}{\varepsilon}\frac{\partial}{\partial\varepsilon}[f(\varepsilon+\mathbf{p}\cdot\mathbf{q})-f(\varepsilon-\mathbf{p}\cdot\mathbf{q})]\right\}, \quad (54)$$

$$f(\varepsilon) = [e^{\varepsilon/T} + 1]^{-1}.$$

Для интересующего нас случая $T = 0$ и $qv_0 < \Delta_0$ правая часть уравнения (54) равна нулю. Отсюда следует, что поправки к параметру порядка $\Delta^{*(1)}$ ($\Delta^{(1)}$) также равны нулю, если только множитель при них отличен от нуля.

Чтобы избежать громоздкости доказательства последнего утверждения, положим в (52) $\mathbf{k} = 0$ и $\Delta^{*(1)} = \Delta^{(1)}$ (обобщение не представляет труда, см. также разд. 2). В этом случае уравнение (52) (после суммирования по частотам) принимает вид

$$\Delta^{(1)}\sum_p\left\{\frac{1-f(\varepsilon+\mathbf{p}\cdot\mathbf{q})-f(\varepsilon-\mathbf{p}\cdot\mathbf{q})}{\varepsilon^3}+\frac{1}{\varepsilon^2}\frac{\partial}{\partial\varepsilon}[f(\varepsilon+\mathbf{p}\cdot\mathbf{q})+f(\varepsilon-\mathbf{p}\cdot\mathbf{q})]\right\}=\frac{e}{m\Delta_0}\times$$

$$\times\sum_p\frac{(\mathbf{p}\cdot\mathbf{A})}{\varepsilon}\frac{\partial}{\partial\varepsilon}[f(\varepsilon+\mathbf{p}\cdot\mathbf{q})-f(\varepsilon-\mathbf{p}\cdot\mathbf{q})]. \quad (55)$$

Отметим, что при выводе мы использовали уравнение (44). Для $T = 0$ левая часть формулы (55) равна

$$\Delta^{(1)}\sum_p\frac{1}{\varepsilon^3}=\Delta^{(1)}N(0)\int\frac{d\xi}{\varepsilon^3}=\frac{\Delta^{(1)}}{\Delta_0^2}2N(0),$$

где $N(0)$ — плотность состояний. Таким образом, мы доказали, что поправки к параметру порядка равны нулю, даже если $\mathbf{q} \neq 0$. Причина состоит в том, что при $T = 0$ и $qv_0 < \Delta_0$ рождение квазичастиц не происходит и Δ не меняется при $\mathbf{A} \rightarrow 0$.

Теперь вычислим парамагнитный ток с помощью формул (53) и (51), причем в $G_\omega^{(1)}$ опустим слагаемые с $\Delta^{(1)}$ и $\Delta^{*(1)}$. Представим вектор-потенциал в обычной форме:

$$\mathbf{A}(\mathbf{r}) = \sum_k A_k e^{i\mathbf{k}\cdot\mathbf{r}}$$

и перейдем к фурье-образам отклика и функций Грина

$$\mathbf{J}_p(\mathbf{k}) = -\frac{\mathbf{q}2e^2}{m^2} \times$$

$$\times \sum_p T \sum_\omega \{(\mathbf{A}_k \cdot \mathbf{p}) \Phi_+ + (\mathbf{A}_k \cdot \mathbf{q}) \Phi_-\} -$$

$$-\frac{2e^2}{m^2} \sum_p \mathbf{p} \left\{ (\mathbf{A}_k \cdot \mathbf{p}) T \sum_\omega \Phi_{++} + (\mathbf{A}_k \cdot \mathbf{q}) T \sum_\omega \Phi_{--} \right\}, \quad (56)$$

$$\Phi_\pm = [G_\omega(\mathbf{p})G_\omega(\mathbf{p}-\mathbf{k}) \pm \mathcal{F}_\omega(\mathbf{p})\mathcal{F}_\omega^+(\mathbf{p}-\mathbf{k})].$$

Если положить в (56) $\mathbf{q} = 0$, то остается только третье слагаемое, в точности совпадающее с обычным парамагнитным вкладом [5].

Вычислим ток при $q \neq 0$ и $T = 0$ (обобщение на случай $T \neq 0$ не представляет труда). Полагая $k = 0$, нетрудно показать, что

$$T \sum_\omega G_\omega(\mathbf{p})G_\omega(\mathbf{p}) = -\frac{\Delta^2}{4\varepsilon^2}, \quad (57)$$

$$T \sum_\omega \mathcal{F}_\omega(\mathbf{p})\mathcal{F}_\omega^+(\mathbf{p}) = \frac{\Delta^2}{4\varepsilon^2}.$$

$$\Phi_+ = 0, \quad \Phi_- = -\frac{\Delta^2}{2\varepsilon^2}. \quad (58)$$

Следовательно, первое и третье слагаемые обращаются в нуль из-за того, что $\Phi_+ = 0$, а последнее — из-за нечетности по \mathbf{p} . Остается только второе слагаемое

$$J_p(\mathbf{k}) = \frac{e^2}{m^2} \mathbf{q} (\mathbf{A}_k \cdot \mathbf{q}) N(0) \int_{-\infty}^{\infty} \frac{d\xi \Delta^2}{(\xi^2 + \Delta_0^2)^{3/2}} =$$

$$= \frac{e^2}{m} \mathbf{q} (\mathbf{A}_k \cdot \mathbf{q}) \frac{p_0}{\pi^2}. \quad (59)$$

Важно отметить, что параметр порядка Δ_0 выпадает из выражения для тока. Величина парамагнитного отклика (59) мала по сравнению с диамагнитным, если $q \ll p_0$. Однако при $q \approx p_0$, как, например, в моделях спаривания с большим импульсом [1, 2], вклад (59) может играть существенную роль, приводя, в частности, к специфической анизотропии эффекта Мейсснера. Каков механизм возникновения парамагнитного вклада (59)?

4. ПАРАМАГНИТНЫЙ ОТКЛИК СВЕРХПРОВОДНИКА С ЗАДАННЫМ ИМПУЛЬСОМ ПАРЫ ПРИ $T = 0$

Нагляднее всего получить ответ на этот вопрос, если вычислить парамагнитный отклик с помощью теории БКШ. Волновая функция БКШ

$$\Psi_s(\mathbf{q}) = \prod_p \left(\tilde{u}_p + \tilde{v}_p a_{p+q\uparrow}^+ a_{-p+q\downarrow}^+ \right) \varphi_0 \quad (60)$$

описывает состояние с импульсом пары $2\mathbf{q}$. В этом нетрудно убедиться, вычисляя полный импульс:

$$\langle \mathbf{P} \rangle = \sum_{p\sigma} \mathbf{p} \langle a_{p\sigma}^+ a_{p\sigma} \rangle = 2\mathbf{q} \sum_p \tilde{v}_p^2. \quad (61)$$

Можно показать, что \tilde{u}_p и \tilde{v}_p даются формулой (47). Найдем парамагнитный отклик по теории возмущений, следуя работе [7]:

$$\mathbf{J}_p(\mathbf{r}) = \sum_i \frac{\langle q | \hat{V} | i \rangle \langle i | \hat{\mathbf{J}} | q \rangle}{E_q - E_i}.$$

Здесь $\langle q | \hat{V} | i \rangle$, $\langle i | \hat{\mathbf{J}} | q \rangle$ — матричные элементы от оператора взаимодействия электронов с полем:

$$\begin{aligned} \hat{V} &= \\ &= \sum_{p_1, p'_1} \mathbf{A}(\mathbf{p}_1 - \mathbf{p}'_1) \left[\mathbf{p}_1 a_{p'_1\uparrow}^+ a_{p_1\uparrow} - \mathbf{p}'_1 a_{-p_1\downarrow}^+ a_{-p'_1\downarrow} \right] \end{aligned} \quad (62)$$

и оператора тока

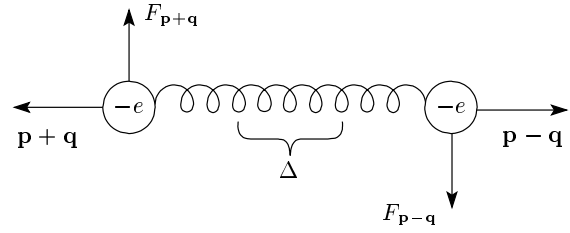
$$\begin{aligned} \hat{\mathbf{J}}_p(\mathbf{r}) &= \\ &= \sum_{p, p'} (\mathbf{p} + \mathbf{p}') e^{i(\mathbf{p}-\mathbf{p}') \cdot \mathbf{r}} \left[a_{p'\uparrow}^+ a_{p\uparrow} - a_{-p\downarrow}^+ a_{-p'\downarrow} \right], \end{aligned} \quad (63)$$

E_q , E_i — энергия основного с $\mathbf{q} \neq 0$ и возбужденных состояний. Вычисляя матричный элемент оператора взаимодействия между состояниями $\Psi_s(\mathbf{q})$ (60) и соответствующим возбужденным состоянием, получаем

$$\begin{aligned} \langle q | \hat{V} | i \rangle &= \sum_{p_1, p'_1} \mathbf{A}(\mathbf{p}_1 - \mathbf{p}'_1) \times \\ &\times \left[(\mathbf{p}_1 + \mathbf{q}) \tilde{u}_{p'_1} \tilde{v}_{p_1} - (\mathbf{p}'_1 - \mathbf{q}) \tilde{u}_{p_1} \tilde{v}_{p'_1} \right], \end{aligned} \quad (64)$$

где $\mathbf{p}'_1 = \mathbf{p}_1 - \mathbf{k}$; принимая во внимание поперечность вектор-потенциала $\mathbf{A} \cdot \mathbf{k} = 0$, находим

$$\begin{aligned} \langle q | \hat{V} | i \rangle &= \sum_{p_1, k} \mathbf{A}(\mathbf{k}) \times \\ &\times \left[\mathbf{p}_1 (\tilde{u}_{p'_1} \tilde{v}_{p_1} - \tilde{u}_{p_1} \tilde{v}_{p'_1}) + \mathbf{q} (\tilde{u}_{p'_1} \tilde{v}_{p_1} + \tilde{u}_{p_1} \tilde{v}_{p'_1}) \right]. \end{aligned} \quad (65)$$



Схематическое изображение куперовской пары из электронов (кружки) с импульсами $\mathbf{p} \pm \mathbf{q}$. Пара в связанном (на рисунке связь моделируется пружиной) состоянии под воздействием силы Лоренца. Следует помнить, что пара в s -состоянии и размер пары много меньше характерной длины изменения магнитного поля ($k \rightarrow 0!$)

Аналогичный результат получается и для матричного элемента тока:

$$\begin{aligned} \langle i | \hat{\mathbf{J}}_p | q \rangle &= \\ &= \sum_{p, p'} e^{i(\mathbf{p}-\mathbf{p}') \cdot \mathbf{r}} \{ (\mathbf{p} + \mathbf{p}') (\tilde{u}_{p'} \tilde{v}_p - \tilde{u}_p \tilde{v}_{p'}) + \\ &\quad + 2\mathbf{q} (\tilde{u}_{p'} \tilde{v}_p + \tilde{u}_p \tilde{v}_{p'}) \}. \end{aligned} \quad (66)$$

Первые слагаемые в формулах (65) и (66) совпадают с известными выражениями отклика в теории БКШ [7], обращаясь в нуль при $\mathbf{k} = 0$. Вклад вносят только вторые слагаемые, пропорциональные \mathbf{q} , так что парамагнитный отклик равен

$$\begin{aligned} \mathbf{J}_p(\mathbf{k}) &= \frac{2e^2}{m} \mathbf{q} (\mathbf{q} \cdot \mathbf{A}_k) \times \\ &\times \sum_p \frac{4u_p^2 v_p^2}{[(\varepsilon + \mathbf{p} \cdot \mathbf{q}) + (\varepsilon - \mathbf{p} \cdot \mathbf{q})]}, \end{aligned} \quad (67)$$

что в точности совпадает с формулой (59).

Физический механизм вклада можно понять с помощью выражения (64). Для большей наглядности воспользуемся квазиклассическими представлениями. Первое слагаемое в (64) пропорционально силе Лоренца, действующей на один из электронов куперовской пары с зарядом e и скоростью $(\mathbf{p} + \mathbf{q})/m$. Второе — силе, действующей на второй электрон с зарядом e и скоростью $(-\mathbf{p} + \mathbf{q})/m$. Сначала рассмотрим случай, когда $\mathbf{q} = 0$, и будем иметь в виду, что электроны находятся в связанном состоянии (лондонская жесткость) (см. рисунок). Тогда сила, действующая на пару, равна нулю, а следовательно, парамагнитный отклик отсутствует.

Если $\mathbf{q} \neq 0$, то суммарная сила равна $2q$ и появляется вклад в парамагнитный отклик. Жесткость

не играет роли, и именно поэтому Δ выпадает из выражения (67). Парамагнитный ток (67) дает небольшой вклад, если $qv < \Delta_0$. Однако для больших q , что может реализовываться в моделях с большим импульсом спаривания [1, 2], парамагнитный ток может определять особенности эффекта Мейсснера.

5. ОТКЛИК В СОСТОЯНИИ ЛОФФ

Интересным и поучительным примером спаривания с конечным импульсом является так называемое ЛОФФ-состояние, предложенное и изученное в работах Ларкина, Овчинникова, Фулде, Феррела [3, 4]. В этом состоянии из-за присутствия обменного поля I , стремящегося развернуть спины куперовской синглетной пары, спаривание с конечным \mathbf{q} является энергетически выгодным. Причина состоит в том, что изменения спектра квазичастиц из-за обменного поля I и импульса \mathbf{q} частично компенсируют друг друга.

Эффект Мейсснера рассматривался в работах [3, 4]. Однако в работе [4] были приведены только качественные оценки отклика, сделанные на основе интуитивных соображений, причем вопрос о поправке $\Delta^{(1)}$ даже не ставился. В работе [3] отклик для случая $\Delta(\mathbf{r}) = \Delta_0 e^{i\mathbf{q}\cdot\mathbf{r}}$ не вычислялся, а расчеты поправки $\Delta^{(1)}$ требуют уточнения. Поэтому прежде всего мы получим уравнения для поправки параметра порядка $\Delta^{*(1)}$ ($\Delta^{(1)}$).

Следуя работе [3], будем исходить из следующей системы уравнений Горькова [5] при $T = 0$:

$$\left\{ i\omega + \frac{1}{2m} \left(\frac{\partial}{\partial \mathbf{r}} - ie\mathbf{A}(\mathbf{r}) \right)^2 + \mu - I\sigma^z \right\} \hat{G}_\omega(\mathbf{r}, \mathbf{r}') - i\Delta(\mathbf{r})\hat{F}_\omega^+(\mathbf{r}, \mathbf{r}') = \delta(\mathbf{r} - \mathbf{r}'), \quad (68)$$

$$\left\{ -i\omega + \frac{1}{2m} \left(\frac{\partial}{\partial \mathbf{r}} + ie\mathbf{A}(\mathbf{r}) \right)^2 + \mu - I\sigma^z \right\} \hat{F}_\omega^+(\mathbf{r}, \mathbf{r}') - i\Delta^+(\mathbf{r})\hat{G}_\omega(\mathbf{r}, \mathbf{r}') = 0, \quad (69)$$

$$\hat{\Delta}^+(\mathbf{r}) = \lambda \int \frac{d\omega}{2\pi} \hat{F}_\omega^+(\mathbf{r}, \mathbf{r}).$$

Здесь G_ω и F_ω^+ — матричные функции Грина, σ^z — матрица Паули; остальные обозначения стандартные.

При $\mathbf{A} = 0$ система (68), (69) имеет энергетически выгодные решения, соответствующие неоднородным состояниям. В частности, реализуется решение [3]

$$\hat{\Delta}(\mathbf{r}) = i\sigma^z \Delta_0 e^{i\mathbf{q}_0 \cdot \mathbf{r}}, \quad \Delta_0^2 = 1.76I_0(I_0 - I), \quad (70)$$

$$I_0 = 0.755\Delta_0, \quad q_0 = 2.4I/V. \quad (71)$$

Параметр порядка Δ_0 мал и находится из уравнения

$$\Delta_0 = \frac{|\lambda|\rho}{4} [\Delta_0\Pi(q, I) - \Delta_0^3 J_4]. \quad (72)$$

Здесь

$$\Pi(q, I) = \ln \frac{2\omega_D^2}{v^2 q^2 - 4I^2} + 2 - \frac{2I}{vq} \ln \frac{vq + 2I}{vq - 2I}, \quad (73)$$

$$J_4 = \int \frac{d\omega}{2\pi i} \int_{-1}^1 dx \int_{-\omega_D}^{\omega_D} d\xi G_{11}^0(-\omega, \mathbf{p}) G_{22}^0(\omega, \mathbf{p} - \mathbf{q}) = \frac{2}{v_0^2 q^2 - 4I^2}, \quad (74)$$

$$\rho = \frac{mp_0}{\pi^2}.$$

Оптимальный импульс q_0 определяется из уравнения [3]

$$\left. \frac{\partial \Pi}{\partial q} \right|_{q_0} = 0. \quad (75)$$

После подстановки q_0 в формулу (72) при $\Delta_0 \rightarrow 0$ получаем I_0 (71). Функции Грина в нормальном (несверхпроводящем) ферромагнитном состоянии

$$G_{11}^0(\omega, \xi_p) = [\omega - \xi_p - I + i\delta\omega]^{-1}, \quad (76)$$

$$G_{22}^0(\omega, \xi_p) = [\omega - \xi_p + I + i\delta\omega]^{-1}$$

соответствуют двум различным направлениям спина, $\delta \rightarrow 0$.

Физический смысл условия выбора q_0 (71) становится яснее, если найти ток $\mathbf{J}_0(\mathbf{q})$ в состоянии с импульсом \mathbf{q} :

$$\mathbf{J}_0(\mathbf{q}) = \frac{e}{m} N \frac{\partial \Pi(q)}{\partial \mathbf{q}}. \quad (77)$$

Согласно теореме Блоха, ток в основном состоянии (т. е. с минимальной энергией) равен нулю. Следовательно, нужно выбрать $q = q_0$ так, чтобы выполнялось условие (75). Причина исчезновения тока J_0 обусловлена компенсацией тока пар и тока квазичастиц при $q = q_0$.

В работе [3] найдено также неоднородное решение:

$$\Delta_0(\mathbf{r}) = 2\Delta_0 \cos \mathbf{q} \cdot \mathbf{r}, \quad \Delta_0^2 = 14.7I_0(I_0 - I). \quad (78)$$

Сначала получим уравнения для поправки $\Delta^{*(1)}$ для случая $\Delta_0(\mathbf{r}) = \Delta_0 e^{i\mathbf{q}\cdot\mathbf{r}}$. Будем искать решения системы уравнений (68) и (69) разложением функций Грина G и F по \mathbf{A} и $\hat{\Delta}^{(1)}$, $\hat{\Delta}^{+(1)}$, причем $\hat{\Delta}^+(\mathbf{r})$ представим в виде

$$\widehat{\Delta}^+(\mathbf{r}) = \widehat{\Delta}_0^+(\mathbf{r}) + \widehat{\Delta}^{+(1)}(\mathbf{r}), \quad (79)$$

$$\begin{aligned} \widehat{\Delta}^+(\mathbf{r}) &= \begin{pmatrix} 0 & -\Delta_0 \\ \Delta_0 & 0 \end{pmatrix} e^{-i\mathbf{q}\cdot\mathbf{r}}, \\ \widehat{\Delta}^{+(1)}(\mathbf{r}) &= \begin{pmatrix} 0 & -\Delta^{*(1)}(\mathbf{r}) \\ \Delta^{*(1)}(\mathbf{r}) & 0 \end{pmatrix} e^{-i\mathbf{q}\cdot\mathbf{r}}. \end{aligned} \quad (80)$$

Здесь Δ_0 дается формулой (70), а для $\Delta^{*(1)}(\mathbf{r})$ имеем следующее уравнение:

$$\begin{aligned} \Delta^{*(1)}(\mathbf{r}) &= \lambda \int \frac{d\omega}{2\pi i} \left\{ \int d\mathbf{r}_1 G_{11}^0(-\omega, \mathbf{r}_1 - \mathbf{r}) \times \right. \\ &\quad \times G_{22}^0(\omega, \mathbf{r}_1 - \mathbf{r}) \Delta^{*(1)}(\mathbf{r}_1) e^{i\mathbf{q}\cdot(\mathbf{r}-\mathbf{r}_1)} + \\ &+ \frac{ie}{m} \Delta_0 \int d\mathbf{r}_1 d\mathbf{r}_2 [G_{11}^0(-\omega, \mathbf{r}_1 - \mathbf{r}) G_{22}^0(\omega, \mathbf{r}_1 - \mathbf{r}_2) \times \\ &\quad \times \left(\mathbf{A}(\mathbf{r}_2) \frac{\partial}{\partial \mathbf{r}_2} \right) G_{22}^0(\omega, \mathbf{r}_2 - \mathbf{r}) e^{i\mathbf{q}\cdot(\mathbf{r}-\mathbf{r}_1)} - \\ &\quad - G_{11}^0(-\omega, \mathbf{r}_1 - \mathbf{r}) \left(\mathbf{A}(\mathbf{r}_1) \frac{\partial}{\partial \mathbf{r}_1} \right) \times \\ &\quad \times G_{11}^0(-\omega, \mathbf{r}_2 - \mathbf{r}_1) G_{22}^0(\omega, \mathbf{r}_2 - \mathbf{r}) e^{i\mathbf{q}\cdot(\mathbf{r}-\mathbf{r}_2)] - \\ &- \int d\mathbf{r}_1 d\mathbf{r}_2 d\mathbf{r}_3 G_{11}^0(-\omega, \mathbf{r}_1 - \mathbf{r}) G_{22}^0(\omega, \mathbf{r}_1 - \mathbf{r}_2) \times \\ &\quad \times G_{11}^0(-\omega, \mathbf{r}_3 - \mathbf{r}_2) G_{22}^0(\omega, \mathbf{r}_3 - \mathbf{r}_1) \times \\ &\quad \times e^{i\mathbf{q}\cdot(\mathbf{r}+\mathbf{r}_2-\mathbf{r}_1-\mathbf{r}_3)} \times \\ &\quad \left. \times \Delta_0^2 \left[\Delta^{*(1)}(\mathbf{r}_1) + \Delta^{*(1)}(\mathbf{r}_3) + \Delta^{(1)}(\mathbf{r}_2) \right] \right\}. \quad (81) \end{aligned}$$

Аналогичное уравнение может быть получено для величины $\Delta_1(\mathbf{r})$, входящей в уравнение (81). Уравнение (81) отличается от соответствующего в работе [3] наличием последнего члена, который играет существенную роль. Полагая $\mathbf{A}(\mathbf{r})$ равным (16), ищем решение уравнения (81) в виде (ср. (17))

$$\begin{aligned} \Delta^{*(1)}(\mathbf{r}) &= \widetilde{B}_+ e^{i\mathbf{k}\cdot\mathbf{r}} + \widetilde{B}_- e^{-i\mathbf{k}\cdot\mathbf{r}}, \\ \Delta_1(\mathbf{r}) &= B_+ e^{i\mathbf{k}\cdot\mathbf{r}} + B_- e^{-i\mathbf{k}\cdot\mathbf{r}}. \end{aligned} \quad (82)$$

Подставляя (82) в (81) и переходя к фурье-образам, получаем

$$\begin{aligned} \widetilde{B}_+ &= \frac{\lambda\rho}{4} \left\{ \widetilde{B}_+ \Pi(I, \mathbf{q} - \mathbf{k}) - \Delta_0^2 J_4 (2\widetilde{B}_+ + B_+) - \right. \\ &\quad \left. - 2e\Delta_0 \left(\mathbf{A}_k \frac{\partial \Pi}{\partial \mathbf{q}} \right) \right\}, \quad (83) \end{aligned}$$

$$\begin{aligned} \widetilde{B}_- &= \frac{\lambda\rho}{4} \left\{ \widetilde{B}_- \Pi(I, \mathbf{q} + \mathbf{k}) - \Delta_0^2 J_4 (2\widetilde{B}_- + B_-) - \right. \\ &\quad \left. - 2e\Delta_0 \left(\mathbf{A}_k \frac{\partial \Pi}{\partial \mathbf{q}} \right) \right\}. \quad (84) \end{aligned}$$

Заметим, что из условия $\Delta^{*(1)} = (\Delta^{(1)})^*$ вытекают соотношения

$$\widetilde{B}_+ = B_-^*, \quad \widetilde{B}_- = B_+^*. \quad (85)$$

Учитывая, что коэффициенты в (83) и (84) действительные, соотношения (85) принимают вид

$$\widetilde{B}_+ = B_-, \quad \widetilde{B}_- = B_+.$$

В результате приходим к замкнутой системе уравнений для \widetilde{B}_+ (83) и B_+ :

$$\begin{aligned} B_+ &= \frac{\lambda\rho}{4} \left\{ B_+ \Pi(I, \mathbf{q} + \mathbf{k}) - \right. \\ &\quad \left. - \Delta_0^2 J_4 (2B_+ + \widetilde{B}_+) - 2e\Delta_0 \left(\mathbf{A}_k \frac{\partial \Pi}{\partial \mathbf{q}} \right) \right\}. \quad (86) \end{aligned}$$

Уравнения для B_+ и \widetilde{B}_+ имеют много общего с системой (18), (19). Поэтому предельный переход $\mathbf{k} \rightarrow 0$ нужно делать, разлагая $\Pi(I, \mathbf{q} \pm \mathbf{k})$ вплоть до квадратичных членов:

$$\begin{aligned} \Pi(I, \mathbf{q} \pm \mathbf{k}) &= \Pi(I, \mathbf{q}) \pm (\mathbf{k} \cdot \boldsymbol{\Pi}') + \frac{k^2}{2} \Pi'', \\ \boldsymbol{\Pi}' &= \frac{\partial \Pi}{\partial \mathbf{q}}, \quad \Pi'' = \frac{\partial^2 \Pi}{\partial \mathbf{q}^2}. \end{aligned} \quad (87)$$

Причина необходимости разложения до k^2 станет ясной ниже. После подстановки разложения (87) и сокращения двух слагаемых (с учетом уравнения (72)) получаем

$$\begin{aligned} B_+ [2(\mathbf{k} \cdot \boldsymbol{\Pi}') + k^2 \Pi'' + a] + \widetilde{B}_+ a &= \widetilde{A} \equiv \\ &\equiv 4e\Delta_0 (\mathbf{A}_k \cdot \boldsymbol{\Pi}'(\mathbf{q})), \\ B_+ a + \widetilde{B}_+ [-2(\mathbf{k} \cdot \boldsymbol{\Pi}') + k^2 \Pi'' + a] &= \widetilde{A}, \\ a &= 2\Delta_0^2 (-J_4). \end{aligned} \quad (88)$$

Теперь становится совершенно очевидной формальная аналогия системы (88) и системы (18), (19) для токового состояния при $T \rightarrow T_c$ и необходимость разложения до \mathbf{k}^2 (в последнем случае $\boldsymbol{\Pi}' = \mathbf{q}$, $\Pi'' = 1$). Действительно, если ограничиться разложением до \mathbf{k} , то из формулы (88) легко получить решения, совпадающие с результатами работы [3]:

$$B_+ = -\widetilde{B}_+ = \frac{\widetilde{A}}{2(\mathbf{k} \cdot \boldsymbol{\Pi}')} = \frac{2e\Delta_0 (\mathbf{A}_k \cdot \mathbf{q})}{(\mathbf{k} \cdot \mathbf{q})}. \quad (89)$$

Отметим также, что в уравнениях [3], аналогичных (88), отсутствует член с a , возникающий из кубиче-

ского по Δ разложения. Если же удержать квадратичные члены, то решения имеют вид (при $k \rightarrow 0$)

$$B_+ = \frac{\tilde{A}(-k^2\Pi'' + 2\mathbf{k} \cdot \Pi')}{[2(\mathbf{k} \cdot \Pi')^2 + a\Pi''k^2]} = \tilde{B}_-, \quad (90)$$

$$\tilde{B}_+ = \frac{\tilde{A}(-k^2\Pi'' - 2\mathbf{k} \cdot \Pi')}{[2(\mathbf{k} \cdot \Pi')^2 + a\Pi''k^2]} = B_-, \quad (91)$$

$$B_+ + \tilde{B}_+ = \frac{-k^2\Pi''\tilde{A}}{[2(\mathbf{k} \cdot \Pi')^2 + a\Pi''k^2]}.$$

Вспомогая, что в основном состоянии $\mathbf{q} = \mathbf{q}_0$, $\Pi'(\mathbf{q}_0) = 0$, $\tilde{A} \propto \Pi'(\mathbf{q}_0)$ согласно (75) и (88), находим из (90), что

$$B_+ = -\frac{\tilde{A}}{a} = -\frac{2e\Delta_0(\mathbf{A}_k \cdot \mathbf{q})\Pi'(\mathbf{q}_0)}{a} = 0. \quad (92)$$

Также равны нулю и \tilde{B}_+ , \tilde{B}_- , B_- , а следовательно, и поправки к параметру порядка $\Delta^{*(1)}$ и $\Delta^{(1)}$. Поэтому поправки $\Delta^{*(1)}$ и $\Delta^{(1)}$ не вносят вклад в отклик, вызываемый магнитным полем:

$$\mathbf{J}(\mathbf{r}) = -\frac{ie}{2m} \left(\frac{\partial}{\partial \mathbf{r}} - \frac{\partial}{\partial \mathbf{r}'} \right) \times \text{Sp} \int \hat{G}^{(1)}(\omega, \mathbf{r}, \mathbf{r}') \frac{d\omega}{2\pi i} - \frac{e^2}{m} \mathbf{A}N, \quad (93)$$

где $\hat{G}^{(1)}$ — поправка к функции Грина, пропорциональная \mathbf{A} и $\hat{\Delta}^{(1)}$. Существенные члены в $\hat{G}^{(1)}$ можно представить в форме (следуя обозначениям [3])

$$\frac{ie}{mc} [G^0(\mathbf{A} \cdot \nabla)G^0 + G^0\Delta_0G^0_-(\mathbf{A} \cdot \nabla)G^0_-\Delta_0^+G^0 - G^0\mathbf{A} \cdot \nabla G^0\Delta_0G^0_-\Delta_0^+G^0 - G^0\Delta_0G^0_-\Delta_0^+G^0(\mathbf{A} \cdot \nabla)G^0]. \quad (94)$$

Для пояснения обозначений приведем последнее слагаемое:

$$-\frac{ie}{m} \int d\mathbf{r}_1 d\mathbf{r}_2 d\mathbf{r}_3 G^0(\omega, \mathbf{r} - \mathbf{r}_1)\Delta_0(\mathbf{r}_1) \times G^0(-\omega, \mathbf{r}_2 - \mathbf{r}_1)\Delta_0^+(\mathbf{r}_2) \times G^0(\omega, \mathbf{r}_2 - \mathbf{r}_3) \left(\mathbf{A}(\mathbf{r}_3) \frac{\partial}{\partial \mathbf{r}_3} \right) G^0(-\omega, \mathbf{r}_3 - \mathbf{r}_1). \quad (95)$$

Вклад от первого слагаемого $\hat{G}^{(1)}$ в (94) сокращается с последним слагаемым в (93), как и должно быть в нормальном металле. Можно показать, что два последних слагаемых в (94) вносят одинаковый

вклад, а второе — удвоенный. В результате после фурье-преобразований получаем

$$\mathbf{J}(\mathbf{k}) = \frac{e^2\Delta_0^2}{m^2} \int \frac{d^3p}{(2\pi)^3} \mathbf{p}(\mathbf{A}_k \cdot \mathbf{p}) \times \left\{ G_{11}^{02}(\omega, \mathbf{p})G_{11}^0(\omega, \mathbf{p}-\mathbf{k})G_{22}^0(-\omega, -\mathbf{p}+\mathbf{q}+\mathbf{k}) + G_{22}^0(\omega, \mathbf{p})G_{22}^{02}(\omega, \mathbf{p}-\mathbf{k})G_{11}^0(-\omega, -\mathbf{p}+\mathbf{q}+\mathbf{k}) \right\}. \quad (96)$$

Положим в (96) $\mathbf{k} = 0$ и представим (как и в разд. 2) вектор $\mathbf{A} = \mathbf{A}_{\parallel} + \mathbf{A}_{\perp}$. Для параллельной составляющей отклика найдем

$$\mathbf{J}_{\parallel}(\mathbf{k}) = \frac{e^2\Delta_0^2\mathbf{A}_{\parallel}N}{mv_0^2} \frac{\partial^2\Pi(\mathbf{q}_0)}{\partial q^2} = -\frac{\mathbf{A}_{\parallel}}{\lambda^2 4\pi}, \quad (97)$$

$$\frac{1}{\lambda^2} = \frac{4\pi e^2 N \Delta_0^2}{mJ_0^2} \left(\frac{6}{1.76} \right).$$

Отклик для перпендикулярной составляющей равен

$$\mathbf{J}_{\perp}(\mathbf{k}) = \frac{e^2\Delta_0^2\mathbf{A}_{\perp}N}{mv_0^2} \frac{1}{q} \frac{\partial\Pi(\mathbf{q}_0)}{\partial q} = 0. \quad (98)$$

Из формулы (97) следует, что отклик \mathbf{J}_{\parallel} , параллельный вектору \mathbf{q} , отличен от нуля и имеет диамагнитный характер. По величине он примерно равен диамагнитному току ГЛ, лишь надо заменить I_0 на T_c . Напротив, отклик \mathbf{J}_{\perp} пропорционален $\partial\Pi/\partial\mathbf{q}$ и при $\mathbf{q} = \mathbf{q}_0$ равен нулю. Эти результаты согласуются с качественными оценками [4], сделанными из интуитивных соображений.

Физический смысл полученных результатов состоит в следующем. Вектор-потенциал \mathbf{A}_{\parallel} взаимодействует с электронами, расположенными в области импульсного пространства, где импульс \mathbf{q}_0 компенсирует разрушающее действие обменного поля I ; поэтому диамагнитный отклик и эффект Мейсснера сохраняются. Напротив, вектор \mathbf{A}_{\perp} имеет дело с электронами, которые испытывают влияние только большого обменного поля, разрушающего пары. Поэтому парамагнитный ток компенсирует диамагнитный, так что $\mathbf{J}_{\perp}(\mathbf{q}_0) = 0$, $\lambda_{\perp}(\mathbf{q}_0) = \infty$. Следует отметить, что результаты (97) и (98) противоположны полученным в разд. 2–4. В токовом состоянии \mathbf{J}_{\parallel} обращается в нуль при критическом значении q_c , а \mathbf{J}_{\perp} остается диамагнитным. Это связано с тем, что в этом случае ($I = 0$) импульс \mathbf{q} производит разрушающее воздействие на пары, с которыми вектор-потенциал взаимодействует.

Наконец, кратко рассмотрим случай, когда $\Delta_0(\mathbf{r}) = \Delta_0 \cos(\mathbf{q} \cdot \mathbf{r})$. Можно показать, что уравнения для поправки $\Delta^{(1)}$ ($\Delta^{*(1)}$) остаются прежними,

так что $\Delta^{(1)} = \Delta^{*(1)} = 0$. Опуская громоздкие вычисления отклика, приведем окончательные результаты

$$\mathbf{J}_{\parallel}(\mathbf{k}) = -\frac{e^2 \mathbf{A}_{\parallel}}{m} N \frac{\Delta_0^2}{T_0^2} \frac{3}{1.76} = -\frac{\mathbf{A}_{\parallel}}{\lambda^2 8\pi}, \quad (99)$$

$$\mathbf{J}_{\perp} = -\frac{\mathbf{A}_{\perp}}{\lambda^2 8\pi} \cos(2\mathbf{q} \cdot \mathbf{r}). \quad (100)$$

Отклик \mathbf{J}_{\parallel} (99) отличается множителем (97) лишь на 1/2, т. е. сохраняет диамагнитный характер и величину. Отклик \mathbf{J}_{\perp} испытывает быстрые осцилляции, так что в среднем равен нулю. Поэтому результаты (99), (100) аналогичны случаю $\Delta_0(\mathbf{r}) = \Delta_0 e^{i\mathbf{q} \cdot \mathbf{r}}$, что и следовало ожидать из физических соображений.

6. ЗАКЛЮЧЕНИЕ

Из полученных выше результатов следует, что спаривание с конечным импульсом радикально меняет эффект Мейсснера, приводя к полной компенсации диамагнитного отклика.

Были рассмотрены три различные ситуации. В первой (разд. 2, $T \rightarrow T_c$) совместное действие импульса и температуры приводило к росту числа разорванных пар (импульс уменьшал щель, а температура рождала квазичастицы). Поэтому отклик в направлении, параллельном \mathbf{q} , обращается в нуль при некотором критическом значении тока q_c . Интересно отметить, что критическое значение импульса q_c соответствует порогу возникновения диффузионной неустойчивости [7]. Это объясняет причину фазового перехода первого рода сверхпроводника с током [6] при $q = q_c$.

В состоянии ЛОФФ воздействия импульса и обменного поля могут компенсировать друг друга. В этой ситуации отклик в направлении, параллельном \mathbf{q} , остается диамагнитным. В перпендикулярном направлении отклик исчезает, так как электроны испытывают влияние только сильного обменного поля.

Наконец, в сверхпроводнике с током при $T = 0$ не происходит разрыв пар. В этой ситуации есть только

q и поправка к параметру порядка $\Delta^{(1)}$ равна нулю. Но парамагнитный отклик возникает, как показано в работе, за счет непосредственного действия магнитного поля на электроны пары.

Полученные результаты свидетельствуют о возможности получения детальной информации о тонких особенностях сверхпроводящего состояния с помощью исследования эффекта Мейсснера. Кроме того, факт кардинального изменения лондоновской длины в сверхпроводниках, несущих транспортный ток, может быть существенным при расчетах критического тока, вихревой структуры и сил пиннинга.

Автор выражает глубокую признательность Ю. В. Копаеву и Л. А. Опену, а также И. Ю. Катеву за полезные обсуждения и помощь. Работа выполнена при финансовой поддержке Федерального агентства РФ по образованию.

ЛИТЕРАТУРА

1. С. N. Yang, Phys. Rev. Lett. **63**, 2144 (1989).
2. В. И. Белявский, В. В. Капаев, Ю. В. Копаев, ЖЭТФ **118**, 941 (2000).
3. А. И. Ларкин, Ю. Н. Овчинников, ЖЭТФ **47**, 1136 (1964).
4. P. Fulde and R. A. Ferrel, Phys. Rev. **135**, A550 (1964).
5. А. А. Абрикосов, Л. П. Горьков, И. Е. Дзялошинский, *Методы квантовой теории поля в статистической физике*, Физматгиз, Москва (1962).
6. П. Де Жен, *Сверхпроводимость металлов и сплавов*, Мир, Москва (1968).
7. В. Ф. Елесин, Ю. В. Копаев, УФН **133**, 259 (1981).
8. А. В. Свидзинский, *Пространственно-неоднородные задачи теории сверхпроводимости*, Наука, Москва (1982).
9. J. Bardeen, L. Cooper, and J. Schrieffer, Phys. Rev. **108**, 1175 (1957).